

บรรณานุกรม

สมัย ลีพิทัตน์ โพบลย์ "การวัดปริมาณเอสตราโกลด์ - 17 บีตา ในชื่นของสตรีไทย ปกติ ควบคู่กับเรติโนอีโนมูโนแอกซ์เจน" วิทยานิพนธ์ ปริญญามหาบัณฑิต แผนก วิชาชีวเคมี บัณฑิตวิทยาลัย จุฬาลงกรณ์มหาวิทยาลัย, 2518.

Abraham, G.E. (1974). Radioimmunoassay of steroids in biological material. Acta Endoc. Supp. 75: 1.

Abraham, G.E., Tulchinsky, D., Swerdloff, R.S. and Odell, W.D. (1971). Radioimmunoassay of plasma progesterone. J. Clin. Endoc. Metab. 32: 619.

Baum, M. (1974). Immunotherapy in treatment of breast cancer. Proc. Roy. Soc. Med. 67: 294.

Beatson, G.T. (1896). On the treatment of inoperable cases of carcinoma of the mamma: Suggestions for a new method of treatment with illustrative cases. Lancet. 2: 104.

Beers, P.C. and Wittliff, J.L. (1973). Estrogen receptor levels in the rat mammary gland during pregnancy, lactation and involution. Fed. Proc. 32: 651.

Binoux, M.A. and Odell, W.D. (1973). Use of dextran-coated charcoal to separate antibody: Bound from free hormone. A critique. J. Clin. Endoc. Metab. 36: 303.

Block, G.E., Jensen, E.V. and Polley, T.Z. (1976). The prediction of hormonal dependency of mammary cancer. Ann. Surgery. 183: 342.

Braunberg, H. (1975). Factors influencing the estimation of oestrogen receptors in human malignant breast tumours. Europ. J. Cancer. 11: 499.

Braunberg, H., Irvine, W.T. and James, J.H.T. (1967). A comparison of steroid hormone concentrations in human tissues including breast cancer. Brit. J. Cancer. 21: 714.

Burton, K. (1955). A study of the conditions and mechanism of diphenylamine reaction for the colorimetric estimation of deoxyribonucleic acid. Biochem. J. 62: 315.

Daehnfeldt, J.L. (1974). Endogeneously blocked high affinity estradiol receptors in the immature and mature rat uterus. Proc. Soc. Exp. Biol. and Med. 146: 159.

Dao, T.L. (1972). Ablation therapy for hormone - dependent tumors. Ann. Rev. Med. 23: 1.

Dawson, R.M.C.D., Elliott, D.C., Elliott, W.H. and Jones, K.M. (1969). Data for biochemical research. 2nd edition. Oxford University Press.

Deshpande, N., Jensen, V.J., Bulbrook, R.D. (1967). Accumulation of tritiated oestradiol by human breast tissue. Steroids. 10: 219.

- Engelsman, E., Persijn, J.P., Korsten, C.B. & Cleton, F.J. (1973). Oestrogen receptor in human breast cancer tissue and response to endocrine therapy. Brit. Med. J. 2: 750.
- E.O.R.T.C. (1973). Standards for the assessment of estrogen receptors in human breast cancer. Europ. J. Cancer. 9: 379.
- Feherty, P., Farrer-Brown, G. and Kellie, A.E. 1971. Oestradiol receptors in carcinoma and benign disease of the breast: An in vitro assay. Brit. J. Cancer. 25: 697.
- Folca, P.J., Glascock, R.F. and Irvine, W.T. (1961). Studies with tritium-labeled hexoestrol in advanced breast cancer. Lancet. 2: 796.
- Gardner, D.G. and Wittliff, J.L. (1973). Specific estrogen receptors in the lactating mammary gland of the rat. Biochemistry. 12: 3090.
- Giles, K.W. and Myers, A. (1965). An improved diphenylamine method for the estimation of deoxyribonucleic acid. Nature. 4979: 93.
- Glascock, R.F. and Hoekstra, W.G. (1959). Selective accumulation of tritium-labelled hexoestrol by reproductive organs of immature female goats and sheep. Biochem. J. 72: 673.
- Gorski, J., Toft, D. Shyamala, G., Smith, D. and Notides, A. (1968). Studies on the interaction of estrogen with the uterus. Recent Prog. Horm. Res. 24: 45.

Hahnel, R. (1971). Properties of the estrogen receptor in the soluble fraction of human uterus. Steroids. 17: 105.

Hahnel, R. and Twaddle, E. (1971). Estrogen receptors in human breast cancer. I. Methodology and characterization of receptors. Steroids. 18: 653.

Hahnel, R., Twaddle, E. and Vivian, A.B. (1971). II. In vitro binding of estradiol by benign and malignant tumors. Steroids. 18: 681.

Hall, T.C. (1968). Chemotherapy of breast cancer. Clin. Obst. Gyne. 11: 401.

Hamilton, T.H. (1968). Control by estrogen of genetic transcription and translation. Science. 161: 649.

Hawk, P.B., Oser, B.L. and Summerson, W.H. (1965). P. 1328. New York. McGraw-Hill Book Company, Inc.

Hilf, R., Golgenberg, H., Orlando, R.A. and Archer, F.L. (1970). Enzymes, nucleic acids and lipids in human breast cancer and normal breast tissue. Cancer Res. 30: 1874.

Hilf, R., Wittliff, J.L., Rector, W.D., Savlov. E.D. Hall, T.C. and Orlando, R.A. (1973). Studies on certain cytoplasmic enzymes and specific estrogen receptors in human breast cancer and in nonmalignant disease of the breast. Cancer Res. 33: 2054.

Huggins, C. and Bergenstal, D.M. (1952). Inhibition of human mammary and prostatic cancer by adrenalectomy. Cancer Res. 12: 134.

Huggins, C., Stevens, R.E. and Hodges, C.V. (1941). Studies on prostatic cancer. II. The effects of castration on advanced carcinoma of the prostate gland. Arch. Surg. 43: 209.

Jensen, E.V. (1975). Estrogen receptors in hormone-dependent breast cancer. Cancer Res. 35: 3362.

Jensen, E.V., Block, G.E., Smith, S., Kysor, K. and DeSombre, E.R. (1971). Estrogen receptors and breast cancer response to adrenalectomy. Natl. Cancer Inst. Monogr. 34: 55.

Jensen, E.V., and DeSombre, E.R. (1972). Mechanism of action of the female sex hormones. Ann. Rev. Biochem. 41: 203.

Jensen, E.V., Jacobson, H.I., Smith, S., Jungblut, P.W. and DeSombre, E.R. (1972). The use of estrogen antagonists in hormone receptor studies. Gynae. Invest. 3: 108.

Jensen, E.V., Smith, S. and DeSombre, E.R. (1976). Hormone dependency in breast cancer. J. Steroid. Biochem. 7: 911.

Johansson, H., Terenius, L., Thoren, I. (1970). The binding of estradiol-17 β to human breast cancers and other tissues in vitro. Cancer. Res. 30: 692.

Jungblut, P.W., Hughes, H., Hughes, A. and Wagner, R.K. (1972).

Evaluation of varrious methods for the assay of cytoplasmic oestrogen receptors in extracts of calfuteri and human breast cancers. Acta Endoc. 70; 185.

Kirschner, M.A. and Taylar, J.P. (1972). Urinary estrogen production rates in normal and endocrine ablated subjects. J. clin. Endoc. Met. 35; 513.

Korenman, S.G. and Dukes, B.A. (1970). Specific estrogen binding by the cytoplasm of human breast carcinoma. J. Clin. Endoc. Metab. 30; 639.

Leclercq, G., Heuson, J.C., Dehoel, M.C. and Mattheiem, W.H. (1975). Oestrogen receptors in breast cancer: A changing concept. Brit. Med. J. 1; 185.

Leclercq, G., Heuson, J.C., Schoenfeld, R., Mattheiem, W.H. and Tagnon, H.J. (1973). Estrogen receptors in human breast cancer. Europ. J. Cancer. 9; 665.

Leung, B.S., Fletcher, W.S., Lindell, T.D., Wood, D.C. and Krip-paehe, W.W. (1973). Predictability of response to endocrine ablation in advance breast cancer. Arch. Surg. 106; 515.

Lowry, O.H., Rosebrough, N.J., Farr, A.L. and Randall, R.J. (1951). Protein measurement with the folin phenol reagent. J. Biol. Chem. 193; 265.

Luft, R. and Olivecrona, H. (1955). Hypophysectomy in man, experiences in metastatic cancer of the breast. Cancer. 8: 261.

Maass, H., Engel, B., Hohmeister, H., Lehmann, H. and Trams, G. (1972). Estrogen receptors in human breast tissue. Am. J. Obst. Gyne. 113: 377.

Maass, H., Engel, B., Nowakowski, H., Stolzenbach, G. and Trams, G. (1974). Steroid hormone receptors in human breast cancer and the clinical significance. Arch. Geschwulstforsh. in press.

Mancini, G., Carbonara, O.A. and Heremans, J.E. (1965). Immunochemical quantitation of antigens by single radial immunodiffusion. Int. J. Immunochem. 2: 235.

Matsumoto, K., Kotoh, K., Kasai, H. & Yamaguchi, K. (1972). Sub-cellular localization of radioactive steroids following administration of testosterone-³H in the androgendependent mouse tumor, Shionogi carcinoma 115. Steroids. 20: 311.

McGuire, W.L. (1973). Estrogen receptors in human breast cancer. J. Clin. Invest. 52: 73.

McGuire, W.L. (1975). Current status of estrogen receptor in human breast cancer. Cancer. 36: 638.

McGuire, W.L. and Chamness, G.C. (1973). Studies on the estrogen receptor in breast cancer. Adv. Exp. Med. Biol. 36: 113.

McGuire, W.L. and Chamness, G.C. (1974). Hormone dependence in breast cancer. Metabolism 23; 75.

McGuire, W.L. and DeLaGarza, M. (1973 a). Similarity of the estrogen receptor in human and rat mammary carcinoma. J. Clin. Endoe. Met. 36; 548.

McGuire, W.L. and DeLaGarza, M. (1973 b). Improved sensitivity in the measurement of estrogen receptor in human breast cancer. J. Clin. Endoe. Metab. 37; 986.

McGuire, W.L., Horwitz, W.B., Chamness, G.C. and Zava, D.T. (1976). A physiological role for estrogen and progesterone in breast cancer. J. Steroid Biochem. 7; 875.

Meites, J. (1973). Relation of Prolactin and estrogen to mammary tumorigenesis in the rat. J. Nat. Cancer Inatitute. 48; 1217.

Mester, T., Robertson, D.M., Feherty, P. and Kellie, A.E. (1970). Determination of high-affinity oestrogen receptor sites in uterine supernatant preparations. Biochem. J. 120; 831.

Mohla, S., DeSombre, E.R. and Jensen, E.V. (1972). Tissue-specific stimulation of RNA synthesis by transformed estradiol receptor complex. Biochem. Biophys. Res. Commun. 46; 661.

- Nagasawa, H. and Yandi, R. (1970). Effects of prolactin or growth hormone on growth of carcinogen induced mammary human of adreno-ovariectomized rats. Int. J. Cancer. 6: 488.
- Oka, T. and Topper, N.J. (1972). Hormone-dependent accumulation of rough endoplasmic reticulum in mouse mammary epithelial cells in vitro. J. Natl. Cancer. Inst. 48: 1225.
- Ratcliff, J.G. (1974). Separation techniques in saturation analysis. Brit. Med. Bull. 30: 32.
- Rosen, P.P., Menendez- Botet, C.J., Nisselbaum, J.S., Urban, J.A., Mike, V., Fracchia, A. and Schwartz, M.K. (1975). Pathological review of breast lesions analyzed for estrogen receptor protein. Cancer Res. 35: 3187.
- Sanborn, B.M., Rao, B.R. and Kornman, S.G. (1971). Interaction of 17β - estradiol and its specific uterine receptor. Evidence for complex kinetic and equilibrium behavior. Biochemistry. 10: 4955.
- Sasaki, G.H., Leung, B.S. and Fletcher, W.S. (1976). Levo dopa test and estrogen receptor assay in prognosticating responses of patients with advanced cancer of the breast to endocrinotherapy. Ann. Surg. 183: 392.

Savlov, E.D., Wittliff, J.L., Hilf, R. and Hall, T.C. (1974).

Correlation between certain biochemical properties of breast cancer and response to therapy. A preliminary report. Cancer. 33: 303.

Scatchard, G. (1949). The attraction of proteins for small molecules and ions. Ann. N. Y. Acad. Sci. 51: 660.

Shyamala, G. and Nandi, S. (1972). Interactions of 6,7 -³H 17 β estradiol with the mouse lactating mammary tissues in vivo and in vitro. Endocrinology. 91: 861.

Talwar, G.P., Segal, S.J., Evans, A. & Davison, O.W. (1964). The binding of estradiol in the uterus: A mechanism for depression of RNA synthesis. Proc. Natl. Acad. Sci USA. 52: 1059.

Toft, D. and Gorski, J. (1966). A receptor molecule for estrogens: Isolation from the rat uterus and preliminary characterization. Proc. Natl. Acad. Sci. USA. 55: 1574.

Wagner, R.K. (1972). Characterization and assay of steroid hormone receptors and steroid-binding serum protein by agar-gel electrophoresis at low temperature. Hoppe-Seyler's Zeitschr. Fur. Physiol. Chem. 353: 1235.

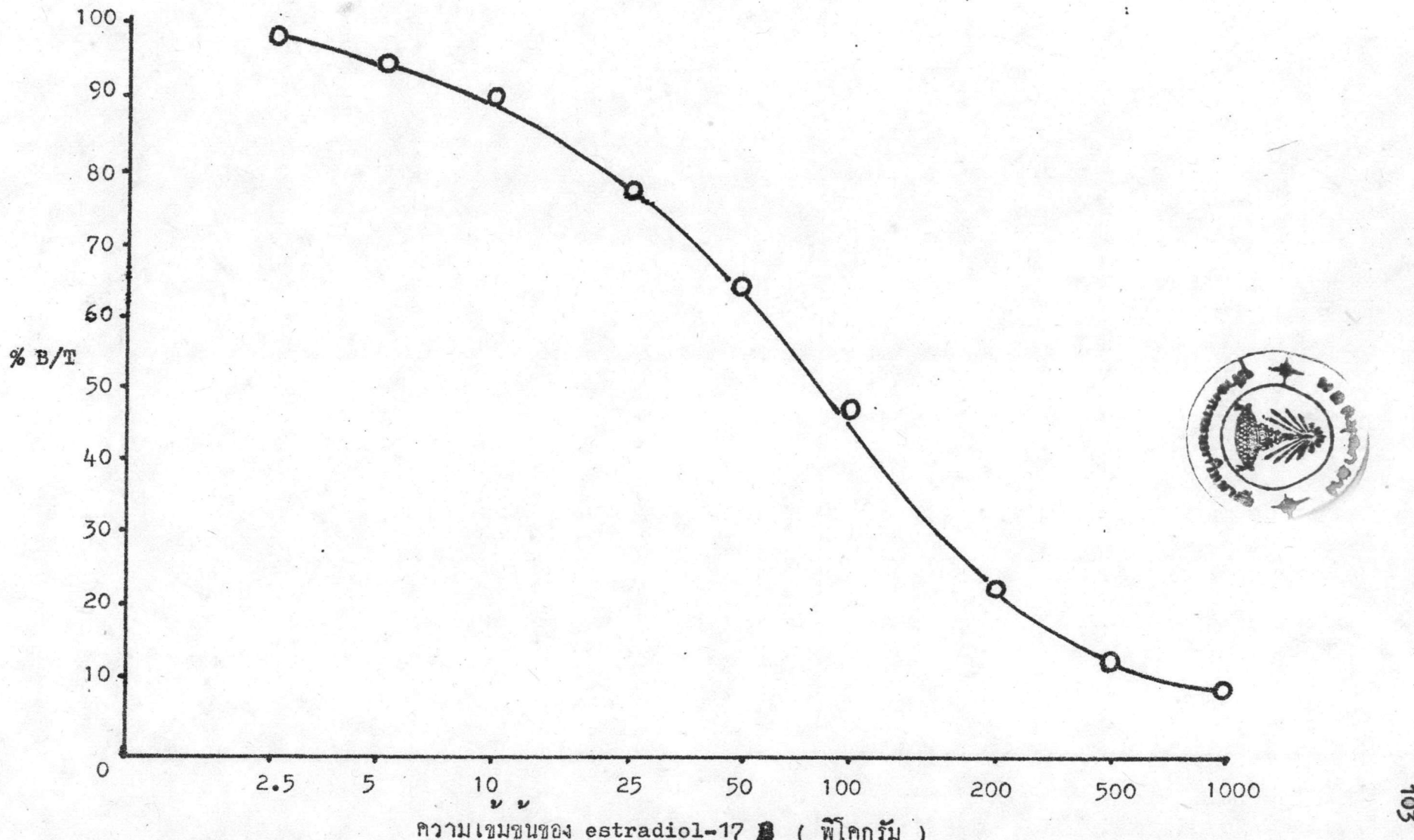
Willcox, P.A. and Thomas, G.H. (1972). Oestrogen metabolism
in cultured human breast tumors Brit.J. Cancer.
26: 453.

Wittliff, J.L. (1974). Specific receptors of the steroid hor-
mones in breast cancer. Seminar in Oncology. 1: 109.

Wittliff, J.L., Gardner, D.G., Battema, W.L. and Gilbert P.J.
(1972 a). Specific estrogen receptors in neoplastic
and lactating mammary gland of the rat. Biochem.
Biophys. Res. Commun. 48: 119.

Wittliff, J.L., Hilf, R., Brooks, W.F., Savlov, E.D., Hall,
T.C. and Orlando R.A. (1972 b). Specific estrogen-
binding capacity of the cytoplasmic receptor in nor-
mal and neoplastic breast tissues of humans. Cancer
Res. 32: 1983.

ກາກພນວກ



รูปที่ 18 แสดงการเพิ่มต่อรากใน การวัดปริมาณ estradiol - 17 β ในน้ำเหลือง เทียบกับสารมาตรฐาน estradiol - 17 β ที่ความเข้มข้นทาง ๆ โดยวิธีเรซิโซอิเมชันแอลล์สเปค

ตารางที่ 11 แสดงผลการหาปริมาณอีสโตรเจนรีเซพเตอร์โปรตีนและส่วนหางพยาธิกลินิกในเนื้อเยื่อเต้านมปกติ
gynaeecomastia เนื้องอกเต้านมประเทรรมค่าและมะเร็ง

ตัวอย่าง	อายุ	พยาธิสภาพ內因	Lymphnode metas- tases	ระ- ยะ โรค	ปริมาณ ไซโทขอ- ดีน โปรตีน มก./มล.	ปริมาณ DNA มล.	ปริมาณอีสโตรเจนรีเซพเตอร์โปรตีน			$K_d \times 10^{-10}$ M
							เฟนโทโนล/ มก.ไซトイ- ชอดโปรตีน	เฟนโทโนล $\mu g.$	ไบน์คิงไซท/ เซลล์	
1	-	เนื้อเยื่อเตา- นมปกติ	-	-	-	2.7	45	-	-	-
2	-	"	-	-	-	1.9	26	-	-	-
3	-	"	-	-	-	0.9	110	-	-	-
4	-	"	-	-	-	3.5	35	-	-	-
5	-	"	-	-	-	2.9	70	-	-	-

ปริมาณไซโทขอ-ดีนโปรตีนของเนื้อเยื่อเต้านมปกติโดยเฉลี่ย $\pm SD = 2.4 \pm 1.0$ มิลลิกรัม/มล.

ปริมาณ DNA ของเนื้อเยื่อเต้านมปกติโดยเฉลี่ย $\pm SD = 57.2 \pm 33.7$ ไมโครกรัม/มล.

1	-	Gynaeco mastia	-	-	-	1.6	50	-	-	-
2	-	"	-	-	-	2.3	125	-	-	-
3	-	"	-	-	-	3.8	25	-	-	-
4	-	"	-	-	-	0.8	72	-	-	-

ตัวอย่าง	อายุ	พยาธิสภาพ	เกรด	lymphnode metas - tases	ระ ยะ โรค	ปริมาณ ไซโทขอ ลโปรตีน mg./นฉ.	ปริมาณ DNA ในกรัม มด.	ปริมาณอีสโตรเจนรีเซปเตอร์โปรตีน			Kd x $10^{-10} M$
								เฟมโตโนล/ มก.ไซโทขอ ล/mg DNA	เฟมโตโนล/ μg DNA	ในสิ่งที่ชน เชด	
5	-	Gynaeco- mastia	-	-	-	2.5	24	-	-	-	-

ปริมาณไซโทขอลโปรตีนของเนื้อเยื่อ gynaecomastia โดยเฉลี่ย \pm SD = 2.2 ± 1.1 มิลลิกรัม/มด.

ปริมาณ DNA ของเนื้อเยื่อ gynaecomastia โดยเฉลี่ย \pm SD = 59.2 ± 41.8 ในกรัม/มด.

1	37	Fibroade- -noma	-	-	-	3.6	160	-	-	-	-
2	35	"	-	-	-	3.1	75	-	-	-	-
3	22	"	-	-	-	1.1	80	-	-	-	-
4	41	"	-	-	-	0.7	110	-	-	-	-
5	39	"	-	-	-	0.9	120	-	-	-	-
6	36	"	-	-	-	2.5	35	-	-	-	-
7	34	"	-	-	-	2.9	20	-	-	-	-
8	24	"	-	-	-	3.2	70	-	-	-	-
9	32	"	-	-	-	0.9	92	-	-	-	-
10	31	"	-	-	-	1.3	64	-	-	-	-
11	25	"	-	-	-	1.5	115	-	-	-	-

ตัวอย่าง	อายุ	พยาธิสภาพ	เกรด	lymphnode metas - tases	ระ ยะ โรค	ปริมาณไช - โซดีโปรดีน มก./ มล.	ปริมาณ DNA μg./ml	ปริมาณอีสโตรเจนรีเซปเตอร์โปรดีน			Kd x 10^{-10} M
								เฟมโทโนด/ มก.ไชโซด โปรดีน	เฟมโทโนด/ ในโครงราก DNA	ไบเดคติ้งไชโซด	
12	28	Fibroaystic disease	-	-	-	3.2	35	-	-	-	-
13	32	Cystosarcoma phyllloides	-	-	-	2.5	40	-	-	-	-
14	37	"	-	-	-	6.6	825	50.0	0.4	1563	7.8
15	29	Giant Fi - broadeno - ma	-	-	-	5.6	600	21.4	0.2	783	0.4

ปริมาณไชโซดโปรดีนของเนื้องอกเต้านมธรรมชาติโดยเฉลี่ย \pm SD = 2.6 ± 1.7 มิลลิกรัม/มล.

ปริมาณ DNA ของเนื้องอกเต้านมธรรมชาติโดยเฉลี่ย \pm SD = 162 ± 230.3 ในโครงราก/มล.

CA 30	56	IDC	UD	+	2	1.5	127	-	-	-	-
CA 34	45	"	UD	+	2	0.8	58	-	-	-	-
CA 32	35	"	UD	/ +	2	1.5	295	-	-	-	-

ตัวอย่างอายุ	พยาธิสภาพ	เกรด	lymphnode metas - tases	ระ ยะ โรค	ปริมาณไช- โตกออลโพร ทีน	ปริมาณ DNA μg/ มล.	ปริมาณอีสโตรเจนรีเซฟเวอร์โปรตีน		$K_d \times$ $10^{-10} M$
							เพมไทด์ไมล/ มก.ไชโตกออล ในกรัม	เพมไทด์เมต โพรตีน DNA	
CA 34	52	IDC	UD	-	1	0.9	97	-	-
CA 35	51	"	UD	-	2	1.9	360	-	-
CA 42	57	"	3	-	1	1.5	174	-	-
CA 43	63	"	UD	-	2	0.5	190	-	-
CA 44	57	"	UD	-	1	3.3	127	-	-
CA 47	27	"	UD	+	?	0.8	88	-	-
CA 48	65	"	UD	+	?	0.7	185	-	-
CA 49	26	"	UD	+	?	4.5	200	-	-
CA 50	31	"	UD	+	2	3.6	390	-	-
CA 53	47	"	D	-	1	5.2	150	-	-
CA 54	48	"	UD	-	1	3.6	95	-	-
CA 55	25	"	UD	+	2	2.6	175	-	-
CA 59	32	"	UD	-	1	1.0	168	-	-
CA 61	62	"	UD	-	?	2.2	61	-	-
CA 63	59	"	UD	-	1	6.5	291	-	-

ตัวอย่าง	อายุ	พยาธิสภาพ	เกรด	lymphnode metas - tases	ระ ยะ โรค	ปริมาณไซ- โตรออล/pro- tein mg./ml.	ปริมาณ DNA ug./ml.	ปริมาณอีสโตรเจนรีเซปเตอร์โปรตีน			$K_d \times$ $10^{-10} M$
								เฟมโทไมด/ mg.ไซโตรออล ในโครงสร้าง โปรตีน	เฟมโทไมด/ mg.ไซโตรออล ในโครงสร้าง DNA	ไบบ์ดิงไซท์ เชด	
CA 64	71	IDC	UD	+	2	2.1	233	-	-	-	-
CA 66	35	"	UD	-	1	0.8	125	-	-	-	-
CA 67	37	"	UD	+	?	1.7	323	-	-	-	-
CA 69	32	"	UD	-	?	1.7	86	-	-	-	-
CA 70	25	"	UD	+	2	6.1	380	-	-	-	-
CA 71	36	"	UD	+	2	0.7	220	-	-	-	-
CA 72	57	"	UD	+	2	0.8	120	-	-	-	-
CA 74	55	"	UD	+	2	0.7	330	-	-	-	-
CA 81	40	"	UD	+	1	0.8	120	-	-	-	-
CA 82	32	"	?	-	1	0.8	200	-	-	-	-
CA 83	39	"	UD	-	?	0.8	88	-	-	-	-
CA 86	35	"	UD	+	2	5.2	332	-	-	-	-
CA 85	24	"	?	+	?	0.7	57	-	-	-	-
CA 88	30	"	UD	+	2	1.5	360	-	-	-	-
CA 89	42	"	D*	+	2	0.7	352	-	-	-	-

ตัวอย่าง	อายุ	พยาธิสภาพ	เกรด	lymphnode metas - tases	ระ ยะ	ปริมาณไข่- ไครโซลิปอ ร์ตีน มก./มล.	ปริมาณ DNA μg./มล.	ปริมาณไข่ไครโซลิปอร์ตีน ในพยุงไ崔เจนรีไซฟ์เทอร์			K_d $\times 10^{-10}$ M
								ไข่ไครโซลิปอร์ตีน ในไ崔เจนรีไซฟ์เทอร์	ไข่ไ崔โนล/ ไข่ไ崔 ชุดไ崔โซลิปอร์ตีน ในไ崔เจนรีไซฟ์เทอร์	ไข่ไ崔โนล/ ไข่ไ崔 ชุดไ崔โซลิปอร์ตีน ในไ崔เจนรีไซฟ์เทอร์	
CA 90	43	IDC	UD	-	1	0.7	90	-	-	-	-
CA 94	32	"	UD	+	?	0.8	250	-	-	-	-
CA 96	31	"	UD	+	2	5.3	400	-	-	-	-
CA 98	73	"	UD	-	2	1.7	250	-	-	-	-
CA 99	51	"	UD	+	?	0.5	72	-	-	-	-
CA103	54	"	UD	+	2	0.6	95	-	-	-	-
CA107	27	"	UD	-	1	2.5	250	-	-	-	-
CA108	36	"	UD	+	2	0.8	85	-	-	-	-
CA110	29	"	UD	+	2	0.8	320	-	-	-	-

ปริมาณไข่ไ崔โซลิปอร์ตีนของเนื้อเยื่อมะเร็งเต้านมที่ในพยุงไ崔เจนรีไซฟ์ $\pm SD = 1.9 \pm 1.6$ มิลลิกรัม/มล.

ปริมาณ DNA ของเนื้อเยื่อมะเร็งเต้านมที่ในพยุงไ崔เจนรีไซฟ์ $\pm SD = 177.7 \pm 105.7$ มิลลิกรัม/มล.

CA113	36	IDC	UD	+	2	1.2	62	10.0	0.2	783	0.4
CA102	34	"	UD	+	2	4.1	85	14.8	0.7	2739	1.0
CA101	41	"	UD	-	1	6.1	400	17.3	0.3	1017	2.9

ตัวอย่าง	อายุ	พยาธิสภาพ	เกรด	lymphnode metas - tases	ระ ยะ โรค	ปริมาณไน- ขอโลโปร์กีน มก./มก.	ปริมาณ DNA μg./มก.	ปริมาณอีสโตรเจนรีเซปเตอร์โปรตีน			$K_d \times$ $10^{-10} M$
								เอนไซม์/ มก.ไซโคซอล โปรตีน	เอนไซม์/ ในกรัม DNA	ใบผักงาชีพ เม็ด	
CA 76	49	IDC	UD	+	1	4.5	25	22.2	4.0	15652	1.1
CA 58	48	"	?	?	?	2.6	192	23.1	0.3	1174	3.7
CA 100	48	"	UD	-	?	4.2	360	23.8	0.3	1057	2.2
CA 80	36	"	UD	-	1	3.6	58	25.8	1.6	6261	2.5
CA 29	56	LC	UD	+	1	2.6	192	26.9	0.4	1409	1.3
CA 86	47	IDC	UD	+	2	4.6	91	27.2	1.4	5400	2.5
CA 51	58	"	?	+	2	3.6	248	27.7	0.4	1565	0.5
CA 60	78	"	UD	+	?	1.9	280	29.6	1.9	7435	1.8
CA 52	46	"	D	+	?	1.9	168	30.8	0.4	1370	4.5
CA 28	45	"	UD	-	1	0.9	100	35.6	0.3	1252	0.6
CA 105	59	"	UD	+	1	3.0	240	36.0	0.4	1565	1.0
CA 77	49	"	UD	+	2	3.9	60	39.0	2.5	9783	1.3
CA 41	65	"	UD	+	2	1.4	192	41.9	0.3	1135	0.2
CA 73	62	"	UD	+	2	1.9	186	42.1	0.4	1565	1.4
CA 95	45	"	UD	-	?	3.8	240	52.1	0.8	3248	3.6

ตัวอย่าง	อายุ	พยาธิสภาพ	เกรด	lymphnode metas - tases	ระ ยะ โรค	ปริมาณไขคีโต ชุดไปร์ตีน มก./มล.	ปริมาณ DNA μg./มล.	ปริมาณอีสโตรเจนรีเซปเตอร์ไปร์ตีน ..			
								เพมโทโนด/ มก.ไจโรฟอล ปรตัน	เพมโทโนด/ ในโครงรับ DNA	ไบเมทิล เอช	
CA 97	42	LC	?	-	?	2.3	320	53.3	0.4	1448	1.8
CA104	50	MC	UD	-	?	3.2	180	55.6	10.0	39130	0.9
CA 56	40	IDC	UD	+	1	2.1	60	55.7	0.2	783	0.6
CA 57	49	"	UD	+	2	2.0	88	55.9	0.1	5322	1.6
CA 75	36	"	UD	+	2	1.7	200	63.2	0.5	1957	3.7
CA 79	49	"	UD	-	?	2.4	75	69.2	2.2	8609	3.2
CA 36	58	"	UD	+	?	0.9	207	70.0	0.3	1174	0.7
CA 87	64	"	UD	-	2	5.7	78	70.2	5.1	19956	3.3
CA 93	50	"	UD	+	2	2.4	65	75.0	2.4	9391	0.8
CA 40	40	"	UD	-	2	2.5	264	85.3	0.8	3170	1.5
CA 91	37	SC	UD	-	?	2.4	60	91.6	3.7	14322	0.1
CA 27	62	IDC	UD	+	2	1.3	128	92.0	0.9	3483	1.7
CA 92	44	"	UD	-	2	2.6	360	94.1	0.6	2348	4.0
CA106	40	"	UD	+	2	4.2	380	95.2	1.0	3913	0.2
CA 33	60	"	UD	+	1	1.6	128	96.2	1.2	4578	1.3

ตัวอย่าง	อายุ	ขยายชีสภพ	เกรด	lymphnode metas - tases	ระ ยะ โรค	ปริมาณไซ- โคซอลป์ร อตัน มก./มล.	ปริมาณ DNA $\mu\text{g.}/\text{ml}$	ปริมาณก่อส์โตรเจนรีเซฟเตอร์โปรตีน			K_d $\times 10^{-10}$ M
								เฟมไทด์/ mg.ไซโคโซล โปรตีน	เฟมไทด์/ ในโครงรั้ม DNA	ใบบัดจิงไชท์/ เซลล์	
CA 68	40	IDC	?	-	1	4.7	25	103.4	7.2	28174	6.6
CA 109	65	"	UD	+	?	4.1	35	106.4	1.2	4696	10.5
CA 62	50	"	UD	+	?	2.6	368	107.3	0.8	2974	2.8
CA 78	60	"	UD	-	1	0.8	50	112.5	1.8	7043	3.3
CA 112	59	"	UD	-	2	3.9	235	112.6	1.8	7043	12.0
CA 38	57	"	UD	+	?	1.5	127	115.6	1.3	5202	1.3
CA 39	52	"	UD	+	?	1.4	104	125.6	1.6	6378	1.4
CA 46	64	"	UD	-	1	3.3	120	133.6	3.6	14087	2.5
CA 65	61	"	UD	+	?	0.8	60	154.3	2.1	8139	1.3
CA 37	47	"	UD	+	?	1.4	189	167.3	1.2	4852	1.8

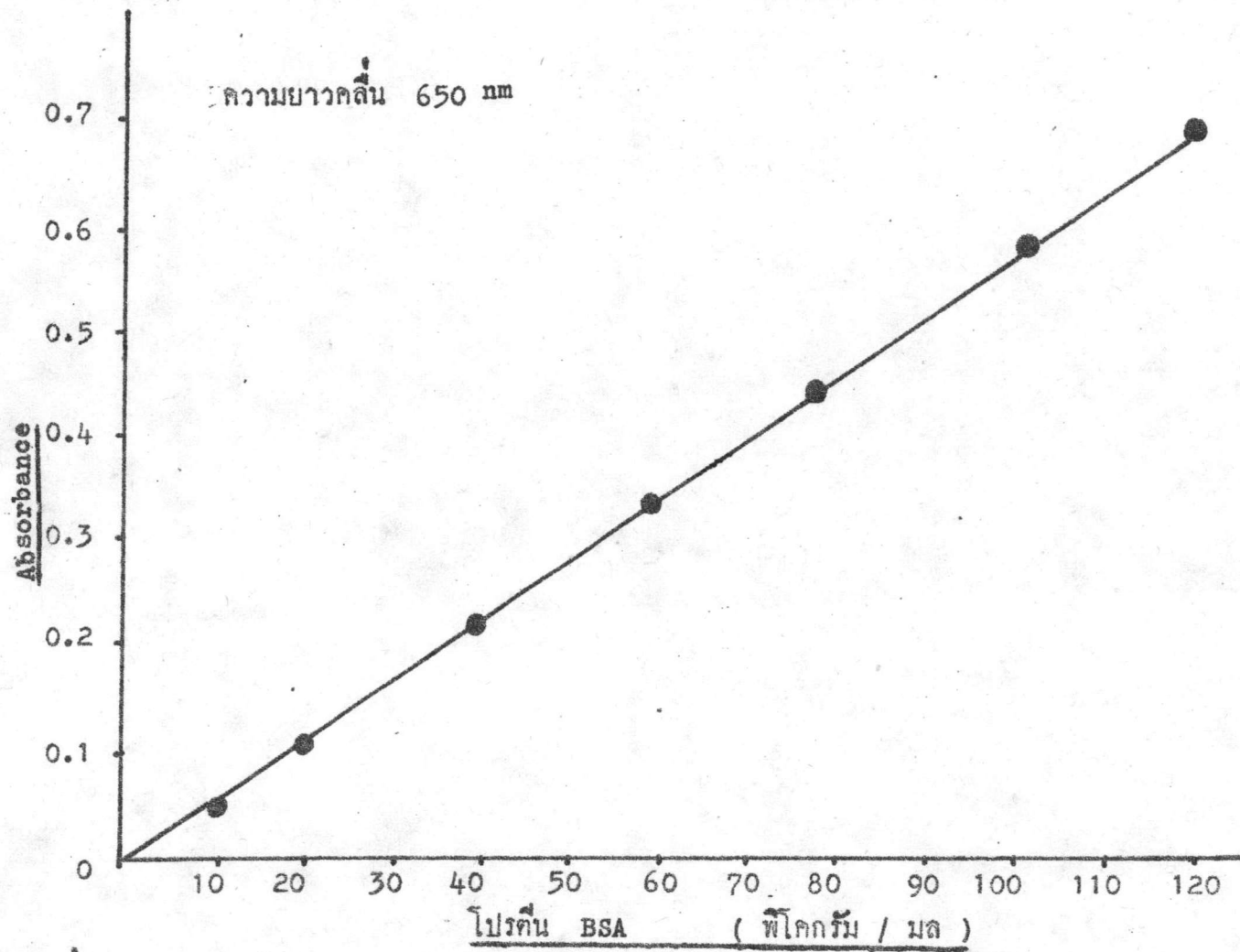
ปริมาณไซโคโซลโปรตีน โดยเฉลี่ย \pm SD = 2.7 \pm 1.3 มิลลิกรัม/มล.
 ปริมาณ DNA โดยเฉลี่ย \pm SD = 172 \pm 108.2 ในโครงรั้ม/มล.

ปริมาณรีเซฟเตอร์โปรตีน โดยเฉลี่ย \pm SD = 67.1 \pm 40.4 เฟมโทโนล/มก.ไซโคโซลโปรตีน
 หรือ = 1.6 \pm 1.9 เฟมโทโนล/ในโครงรั้ม
 หรือ = 6339 \pm 7547 ใบบัดจิงไชท์/เซลล์

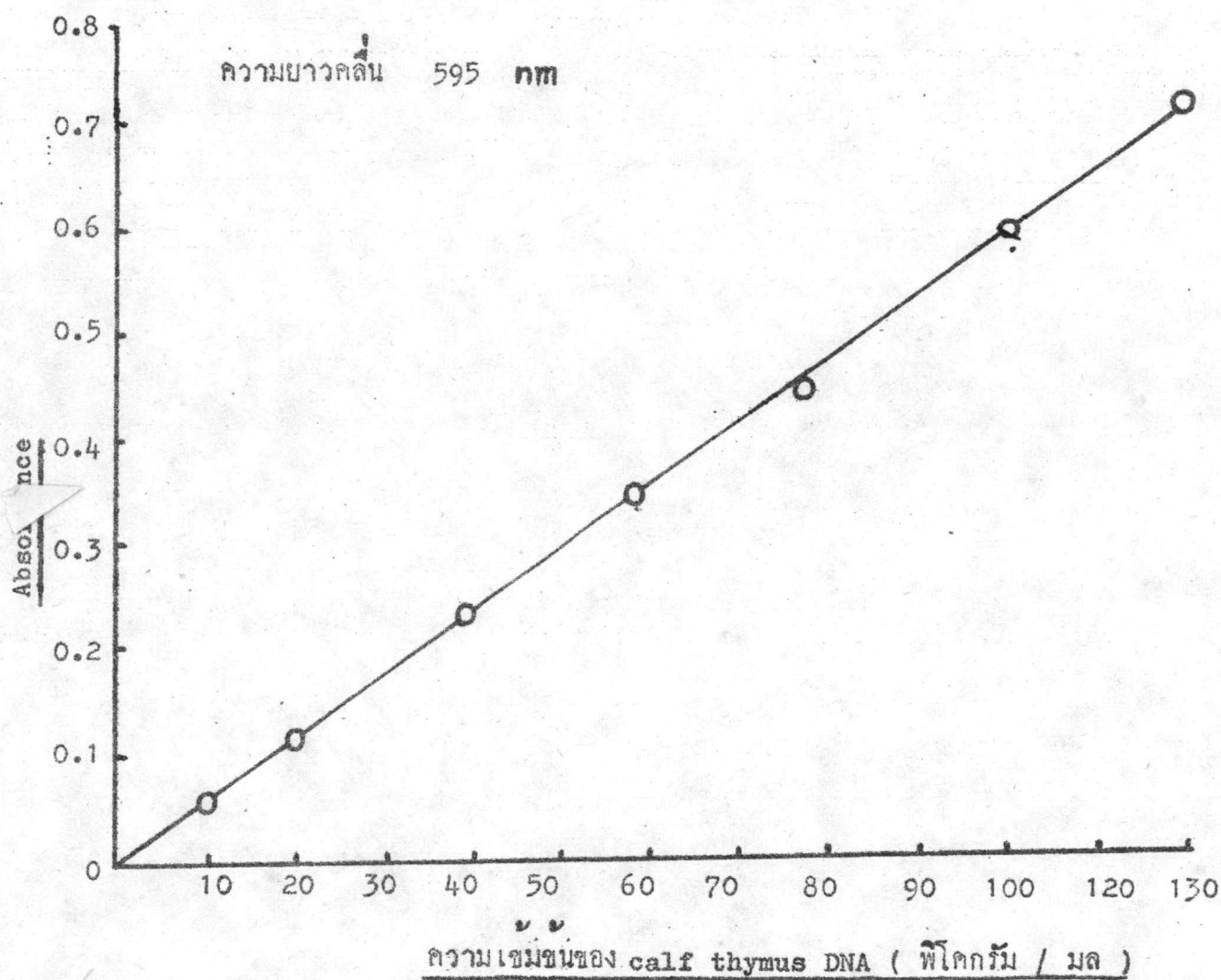
K_d โดยเฉลี่ย \pm SD = 2.4 \pm 2.4×10^{-10} M

* UD = undifferentiated cell carcinoma

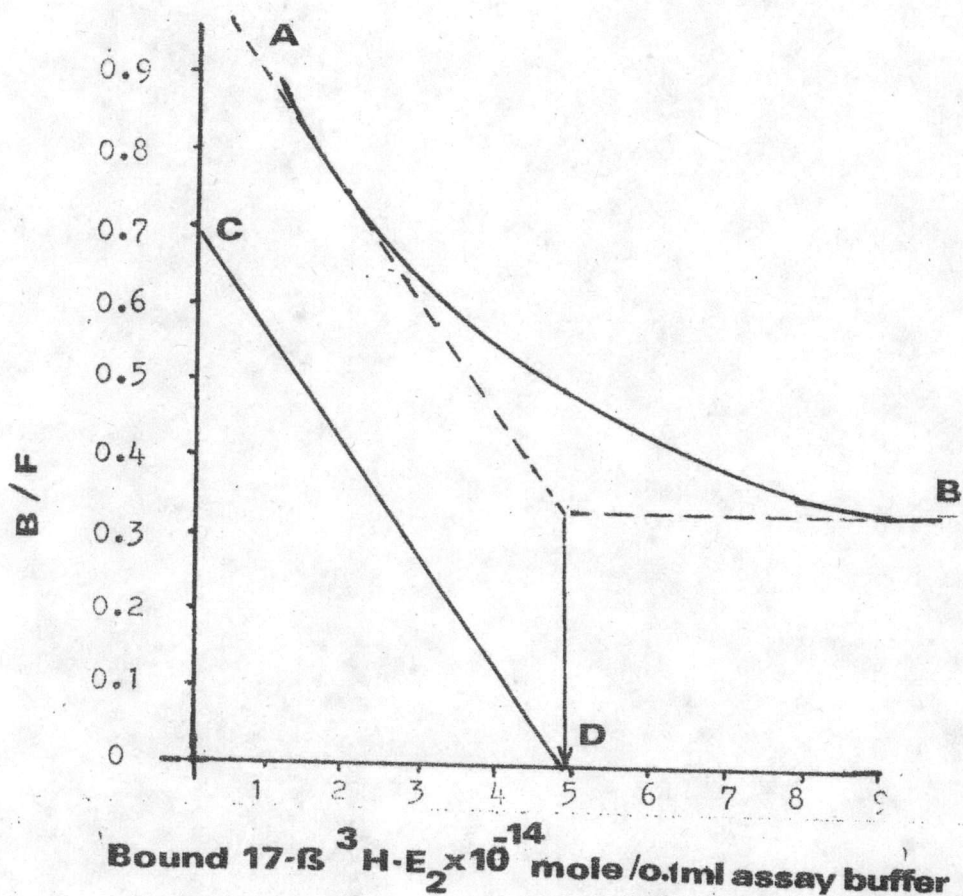
D = differentiated cell carcinoma



รูปที่ 19 แสดงกราฟมูลฐานในการวัดปริมาณไขโภคด้วยโปรตีน โดยเทียบกับสารมาตรฐาน BSA
ที่ความเข้มข้นทาง ๆ



รูปที่ 20 แสดงกราฟมาร์คุรีในการวัดปริมาณ DNA โดยเทียบกับ DNA มาตรฐานจาก calf thymus



รูปที่ 21 แสดงการแกกราฟ Scatchard ในกรณีที่มีเป็นส่วนต่างๆ เส้นตรง AB คือเส้นที่มี affinity high และ low affinity binding complex แตกต่างกัน เส้น CD คือเส้นที่แก้แล้วมีเพียง high affinity binding complex Mester และคณะ (1971)

✓

ประวัติการศึกษา
ประวัติการศึกษาของผู้เขียนวิทยานิพนธ์

ชื่อ	นาย โภวิท พัฒนาบัญญासกุล
วุฒิการศึกษา	มัธยมศึกษาปีที่ ๓ จากโรงเรียนสมัครสอบ มีการศึกษา ๒๕๑๐
	มัธยมศึกษาปีที่ ๕ จากโรงเรียนสมัครสอบ มีการศึกษา ๒๕๑๒
	ปริญญาวิทยาศาสตร์บัณฑิต จุฬาลงกรณ์มหาวิทยาลัย
	สาขาชีวเคมี มีการศึกษา ๒๕๑๖
สถานที่ทำงาน	ภาควิชาวังส์วิทยา คณะแพทยศาสตร์ ศิริราชพยาบาล มหาวิทยาลัยมหิดล

